

Estrutura atômica (Cap. 43)

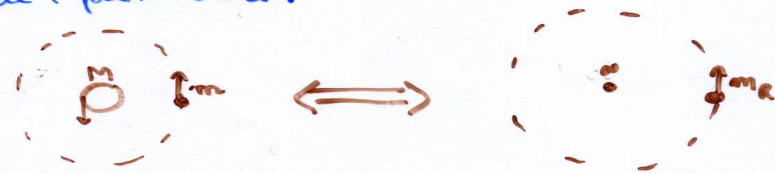
Introdução

Neste capítulo, veremos como, a partir da equações de Schrödinger, podemos entender a estrutura em orbitais dos elétrons de um átomo e a classificação periódica. Isto é um dos maiores triunfos da mecânica quântica.

Solução da equação de Schrödinger para um átomo de um elétron (H , H^+ , Li^{++}) § 43.2

Procedemos assim:

(i) Este tipo de átomo contém 2 partículas na órbita, como na equação de Schrödinger, porém podemos fazer a substituição por um problema equivalente de 1 partícula:



e^- é o núcleo em movimento ao redor de seu centro de massa

Se $M \gg m$, temos $m \approx M$.

partícula de massa reduzida
 $m_R = \frac{Mm}{M+m}$ em movimento ao redor de uma partícula de massa infinita

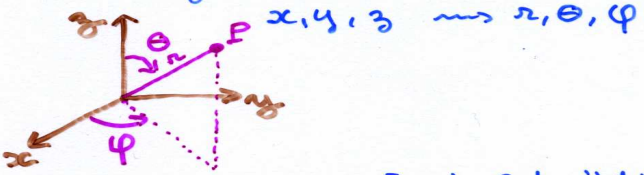
(ii) O problema é 3-dimensional:

$$\frac{d^2\psi}{dx^2} = -\frac{3m}{4\pi^2 r^2} (E - U(x)) \quad \text{ou} \quad \frac{\partial^2\psi}{\partial x^2} + \frac{\partial^2\psi}{\partial y^2} + \frac{\partial^2\psi}{\partial z^2} = -\frac{2m}{4\pi^2 r^2} (E - U(x,y,z))$$

(iii) O potencial é:

$$U(x,y,z) = \frac{-Ze^2}{4\pi\epsilon_0\sqrt{x^2+y^2+z^2}} = -\frac{Ze^2}{4\pi\epsilon_0 r}$$

Leto sugere usar as coordenadas esféricas:



de modo que a equação de Schrödinger se re-escreve:

$$\nabla^2 \psi(r, \theta, \phi) = -\frac{2m}{\hbar^2} (E - U(r)) \psi(r, \theta, \phi)$$

em coordenadas esféricas!

(iv) Podemos procurar solução do tipo seguinte (usando o método de separação de variáveis):

$$\psi(r, \theta, \phi) = R(r) \Theta(\theta) \Phi(\phi)$$

Obtemos 3 equações independentes

$$\left\{ \begin{array}{l} \frac{d^2 \Phi}{dr^2} = -m_e^2 \Phi \\ -\frac{1}{\sin \theta} \frac{d}{d\theta} (\sin \theta \frac{d\Theta}{d\theta}) + \frac{m_e^2 \Theta}{\sin^2 \theta} = l(l+1) \Theta \\ \frac{1}{r^2} \frac{d}{dr} (r^2 \frac{dR}{dr}) + \frac{2m_e}{\hbar^2} [E - U(r)] R = l(l+1) \frac{R}{r^2} \end{array} \right.$$

m_e e l são constantes que aparecem na hora de implementar a separação de variáveis.

A solução que satisfaz as condições de contorno é:

. Parte que não depende do potencial

$$\Phi_{me}(\phi) = e^{im_e \phi}$$

$$\Theta_{me}(\theta) = \sin^{l+m_e} \theta \times F_{l+m_e} \frac{3}{\text{polinômio}} (\cos \theta)$$

. Parte que depende do potencial

$$R_{nl}(r) = e^{-\frac{Zr}{m_e a_0}} \left(\frac{Zr}{a_0} \right)^l G_{nl} \frac{3}{\text{polinômio}} \left(\frac{Zr}{a_0} \right)$$

com

$$a_0 = \frac{4\pi E_0 \hbar^2}{m_e e^2}$$

No processo de procurar as funções de onda que são solução da eq. de Schrödinger e satisfazem as condições de contorno, também determinaremos os níveis de energia correspondentes:

$$E_n = \frac{-m_e Z^2 e^4}{(4\pi\epsilon_0)^2 2\pi^2 n^2}$$

com

$n = 1, 2, 3, \dots$ n° quântico principal

$l = 0, 1, 2, \dots n-1$: n° quântico orbital

$m_l = -l, -l+1, \dots, 0, \dots l$; l : n° qu. magnético

$$\text{se } M \approx m, m_e \approx m \text{ e } E_n = -13,6 \text{ eV} \times \left(\frac{Z^2}{n^2}\right)$$

60

Vemos que estas energias E_n são as mesmas do modelo de Bohr em acordo com os dados experimentais. A vantagem é que enquanto o modelo de Bohr mistura ideias clássicas e quânticas (e não podia ser estendido à núcleos mais complexos), agora a deliberação é feita a partir de uma teoria (partículas/ondas, equação de Schrödinger), etc) e poderá ser aplicada a outras situações.

n é ligado à energia. Pode-se mostrar que l é ligado ao valor do módulo do momento angular e m_l à projeção deste sobre um eixo Oz :

$$L = \sqrt{l(l+1)} \hbar \text{ onde } \vec{L} = \vec{r} \wedge \vec{p}$$

com

$l = 0, 1, \dots, n-1$

4

$$L_z = m_l \hbar$$

com

$m_l = -l, -l+1, \dots, 0, \dots, l-1, l$

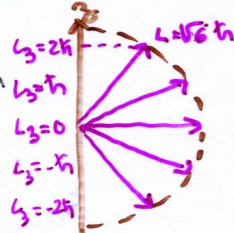
Isto significa que da mesma maneira que a energia é quantizada, L e L_z também o são.
 Isto sai automaticamente. (No modelo de Bohr L era suposto quantizado com $L = m\hbar$ para o nível m . Demodô que $L=0$ era impossível, agora é possível.)

A direção de \vec{L} não é conhecida (senão, o movimento de \vec{p} é num plano perpendicular a esta direção, o componente de \vec{p} nesta direção seria nulo em violação do princípio da incerteza)

Graficamente a situação é assim:

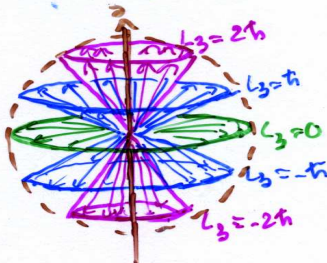
$$l=2 \Rightarrow L = \sqrt{6} \hbar$$

$$L_z = -2\hbar, -\hbar, 0, \hbar, 2\hbar$$



Mais precisamente:

Cones de direções possíveis para \vec{L}



os valores de L_x e L_y fluctuam mantendo fixos os valores (quantizados) de L e L_z .

os valores médios de L_x e L_y são nulos.

5

Obs.: a escolha de um eixo Oz é arbitrária (o átomo não "o conhece"). O ponto central é que \vec{L} tem uma de suas componentes quantizadas.

Exemplo: considere os estados $m=4$ do hidrogênio.

a) Qual é o módulo máximo de \vec{L} ?

b) Qual é o valor máximo de L_z ?

c) Qual é o ângulo mínimo entre \vec{L} e Oz ?

a) $m=4 \Rightarrow l=0, 1, 2 \text{ ou } 3 (l=n-1)$

Como $L = \sqrt{\ell(\ell+1)}\hbar$, seu valor máximo é $\sqrt{12}\hbar$.

b) Como $L_z = m\hbar$ e m varia de $-l$ a $+l$, o valor máximo de L_z é $3\hbar$.

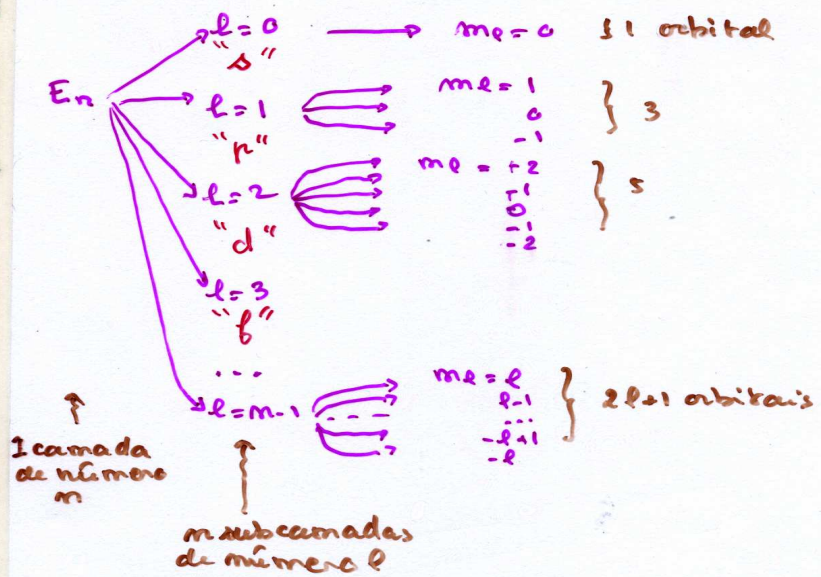
c) O ângulo mínimo entre \vec{L} e Oz acontece quando L_z é máxima

$$L_z = 3\hbar \quad \rightarrow \quad L = \sqrt{12}\hbar$$

θ_{\min}

$$\theta_{\min} = \arccos\left(\frac{L_z \max}{L}\right) = \arccos\left(\frac{3\hbar}{\sqrt{12}\hbar}\right) = 30,0^\circ$$

Para uma energia fixa, então um n fixo, há vários valores de l ($0 \text{ a } n-1$) e m_l ($-l \text{ a } +l$)



Obs. 1: a notação s, p, d, f vêm de "sharp", "principal", "diffuse", "fundamental" que vêm do círculo da espectroscopia. Uma forma comum de notação é: 1s para $m_l=1, l=0$
 $2p$ $m_l=2, l=1$
etc.

Obs. 2: outra forma de notação é

$m_l=1$	\leftrightarrow	K
2	\leftrightarrow	L
3	\leftrightarrow	M
4	\leftrightarrow	N
etc.		

7

Obs. 3: veremos que cada orbital pode abrigar 6σ 2 elétrons.

Exemplo: Quantos estados distintos (n, l e m_l) de átomo de hidrogênio existem para $n=3$? Calcule as energias desses estados.

	$\frac{l=0, 1, \dots, n-1}{l=0}$	$\frac{-l \leq m_l \leq +l}{m_l=0}$	\rightarrow
$n=3$	$l=1$	$m_l = +1$ 0 -1	$\rightarrow 3$
	$l=2$	$m_l = +2$ +1 0 -1 -2	$\rightarrow 5$
			$\overline{9 \text{ estados}}$

(Na realidade, por causa do spin, serão 9x2 estados)

Todas as energias destes estados são iguais (isto se chama degenerescência) e valem:

$$E_n = \frac{-13.6 \text{ eV}}{z^2} = -13.6 \text{ eV}$$

Para concluir nosso estudo dos átomos de elétron, discutimos as funções de onda:

As primeiras funções de onda normalizadas são:

n	l	m_l	função	dependência
1	0	0	$\Psi_{100} = \frac{1}{\sqrt{\pi}} \left(\frac{3}{a_0}\right)^{3/2} e^{-2\pi r/a_0}$	r
2	0	0	$\Psi_{200} = \frac{1}{4\sqrt{\pi}} \left(\frac{3}{a_0}\right)^{3/2} \left(2 - \frac{3r}{a_0}\right) e^{-2\pi r/a_0}$	r
1	0		$\Psi_{210} = \frac{1}{4\sqrt{\pi}} \left(\frac{3}{a_0}\right)^{3/2} \frac{3r}{a_0} e^{-2\pi r/a_0} \cos \theta$	r, θ
1	± 1		$\Psi_{21\pm} = \frac{1}{4\sqrt{\pi}} \left(\frac{3}{a_0}\right)^{3/2} \frac{3r}{a_0} e^{-2\pi r/a_0} \sin \theta e^{\mp i\phi}$	r, θ, ϕ
3	0	0	Ψ_{300}	r
etc				

De modo geral, $\Psi_{n\ell m\ell}$ só depende de r se $\ell=0$
 depende de n se $\ell>0$, $m_\ell=0$
 depende de n, ℓ, m_ℓ nos outros casos.

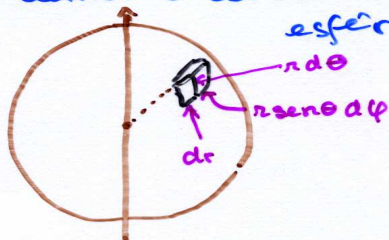
A probabilidade de encontrar o elétron num volume dV é:

$$|\Psi_{n\ell m\ell}(r, \theta, \varphi)|^2 dV = |R_{n\ell}(r)|^2 |\Theta_{\ell m\ell}(\theta)|^2 |\Phi_{m\ell}(\varphi)|^2 dV$$

(pois $|\Phi_{m\ell}(\varphi)|^2 = |e^{im\ell\varphi}|^2 = 1$).

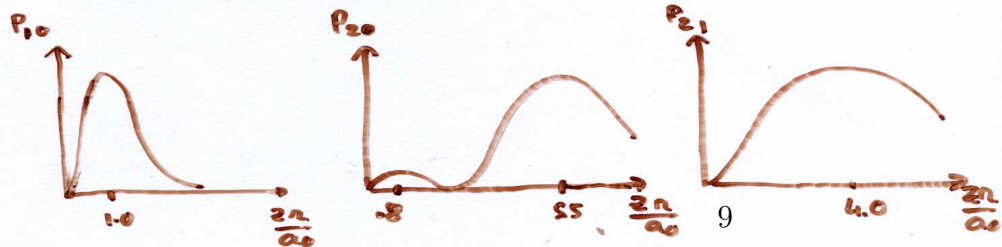
\Rightarrow Só depende de r e θ .

O elemento de volume dV em coordenadas esféricas é: $r^2 \sin\theta d\theta dr d\varphi$.



É útil introduzir a probabilidade de encontrar o elétron entre r e $r+dr$:

$$P_{ne}(r) dr \equiv |R_{n\ell}(r)|^2 r^2 dr$$



\Rightarrow Somente se $\ell=0$, o elétron tem chance apreciável de estar perto do núcleo ($\therefore n$ pequeno)
 o átomo não tem fronteira nítida.

Obs.: no fundo (e mas profundo) $P(r) dr = 4\pi r^2 dr$
 (mas isto é pouco rigoroso).

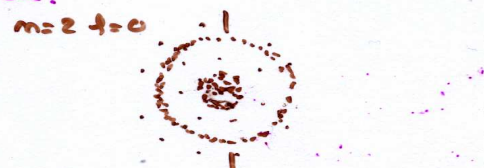
Podemos considerar ambas as dependências em n e θ :

$$|\psi|^2 dr = |R_{nl}(n)|^2 |\Theta_{lm}(\theta)|^2 r^2 \sin\theta d\theta dr$$

Centros transversais de $|\psi|^2$ são mostrados abaixo:
Se $l=0$, tem simetria esférica:

$$n=1 \quad l=0$$

$$m=2 \quad l=0$$

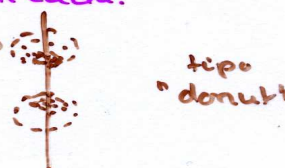


Se $l>0$, a estrutura é mais complicada:

$$n=2 \quad l=1 \quad m=\pm 1$$



$$n=2 \quad l=1 \quad m=0$$



Nestes desenhos, as regiões mais densas em pontinhos são aquelas com maiores densidades de probabilidade de encontrar o elétron. Vemos que isto é totalmente diferente do modelo de Bohr, onde o elétron se encontra sobre uma trajetória circular de raio definido $r_n = n^2 a_0 / z$.

Exemplo: a função de onda para o estado fundamental do hidrogênio é dada por:

$$\psi_{10}(r) = \frac{1}{\sqrt{\pi a_0^3}} e^{-r/a_0}$$

10

- mostre que esta função de onda é normalizada
- Qual é a probabilidade de um elétron se encontrar a uma distância menor do que a_0 em relação ao núcleo?

a) $\int |V|^2 dV = \iiint \frac{1}{\pi a_0^3} e^{-2r/a_0} \sin \theta d\theta d\phi r^2 dr$

$$= \frac{4\pi}{\pi a_0^3} \int_0^\infty e^{-2r/a_0} r^2 dr$$

$$= \frac{4}{a_0^3} \left[\left(-\frac{a_0 r^2}{2} - \frac{a_0^2 r}{2} - \frac{a_0^3}{4} \right) e^{-2r/a_0} \right]_0^\infty$$

$$= \frac{4}{a_0^3} \frac{a_0^3}{4} = 1$$

b) $\int \sin \theta d\theta \int_0^{2\pi} d\phi \int_0^{\infty} \frac{1}{\pi a_0^3} e^{-2r/a_0} r^2 dr$

$$= \frac{4\pi}{\pi a_0^3} \left[\left(-\frac{a_0 r^2}{2} - \frac{a_0^2 r}{2} - \frac{a_0^3}{4} \right) e^{-2r/a_0} \right]_0^{\infty}$$

$$= \frac{4}{a_0^3} \left[-\left(\frac{a_0^3}{2} + \frac{a_0^2}{2} + \frac{a_0^3}{4} \right) e^{-2} + \frac{a_0^3}{4} \right]$$

$$= 1 - 5e^{-2}$$

COMPARAÇÃO

Modelo de Bohr

en. quantizada

$$E_n = -\frac{13,6 \text{ eV}}{n^2}$$

1 órbita de n fixo

$$L = nh$$

órbitas de radio r_n

fóton emitido ou absorvido
p/mudar de nível de en. E_n



baseado em axiomas

Modelo de Schrödinger

en. quantizada

$$E_n = -\frac{13,6 \text{ eV}}{n^2}$$

$\begin{matrix} l=0 \\ 0+ \end{matrix} \begin{matrix} l=1 \\ 1+3 \end{matrix} \begin{matrix} l=2 \\ 2+5 \end{matrix} + \dots + [2(n-1)+1]$
órbitas de mesmo n
 \equiv degenerescência

$$\begin{aligned} L &= \sqrt{c(c+1)} \ h \quad c/l = 0, 1, \dots, n-1 \\ L_3 &= nh \quad c/m = -l, -l+1, \dots, l \end{aligned}$$

prob. de encontrar
o electron (nuvem)

fóton emitido ou absorvido
p/mudar de nível de en. E_n

12

baseado na noção de
partícula onda obedecendo
à eq. de Schrödinger

Questão 3A

Um elétron de um átomo de hidrogênio tem os seguintes números quânticos: $n = 2$, $\ell = 1$, $m_\ell = -1$, $m_s = 1/2$. Sabendo que a energia de ionização do átomo de hidrogênio é $13,6 \text{ eV}$,

- (0,5 ponto) (a) Quanto vale a energia desse elétron?
- (0,5 ponto) (b) Quanto vale o módulo do momento angular orbital ($|\vec{L}|$) e sua componente L_z ?
- (0,5 ponto) (c) Quanto vale o módulo do momento angular de spin ($|\vec{S}|$) e sua componente S_z ?

Questão 3B

A função de onda normalizada de um elétron num átomo de hidrogênio, em seu estado de menor energia, é dada por $\psi(r) = \frac{1}{\sqrt{\pi a_0^3}} e^{-r/a_0}$, onde $a_0 = 0,053 \text{ nm}$ é o raio de Bohr.

- (0,5 ponto) (d) Esboce um gráfico da função densidade de probabilidade radial desse elétron em função da coordenada r .
desenho a seguir
- (0,5 ponto) (e) Determine o valor mais provável da posição radial do elétron nesse estado.
 $P(r) = 14r^2 \pi r^2$

2001

Questão 3

- (a) [1.0] A função de onda de um elétron do hidrogênio no estado $1s$ é dada por

$$\psi(r) = \frac{1}{\sqrt{\pi a_0^3}} e^{-r/a_0},$$

onde a_0 é o raio de Bohr. Calcule as distâncias, medidas a partir do centro do núcleo, onde a probabilidade de encontrar um elétron $1s$ é máxima e onde a probabilidade é mínima.

- (b) [1.0] Para preencher com elétrons as subcamadas de um átomo usa-se a seguinte regra: as subcamadas que têm o menor valor de $n + l$ são preenchidas antes; se duas subcamadas têm o mesmo valor de $n + l$, preenche-se antes a subcamada com menor valor de n . Use esta regra para escrever a configuração eletrônica do Sc , que é o átomo com número atômico mais baixo que apresenta um elétron em uma subcamada d .